

homographic solutions of
the three bodies problem

東大理 石井一平

§.1.

n -体問題の homographic solution (相似解) とは、各時刻において、 n -体のなす図形が、初期値に応じて、それらによって作られる図形と相似であるような解のことという。

このような解は、 n -体が central configuration (各質点に働く力は、系の重心に向い、大きさが重心からの距離に比例するような図形) をなすときのみ可能であり、実際に存在する。[3]。又、この解は周期解である。

ここでは、3-体問題の homographic solution を、方程式を変換することによって直接に求め、それらの characteristic exponents を考察する。

3-体問題の場合、homographic solution はすべて平面問題の解である。従って、我々は最初から、平面3-体問題として取り扱う。

§. 2

3-質点を P_1, P_2, P_3 と名づけ、それぞれの質量を m_1, m_2, m_3 とする。 P_1, P_2, P_3 の静止直交座標系に加わる座標をそれぞれ (θ_1, θ_2) , (θ_3, θ_4) , (θ_5, θ_6) とし、 θ_k に共役な運動量を p_k とする。

ここで 3-体の運動方程式は

$$(1) \quad \dot{\theta}_k = \frac{\partial H}{\partial p_k}, \quad \dot{p}_k = -\frac{\partial H}{\partial \theta_k} \quad (k=1, \dots, 6)$$

$$\left\{ \begin{array}{l} H = T - U \\ T = \frac{1}{2m_1}(p_1^2 + p_3^2) + \frac{1}{2m_2}(p_2^2 + p_4^2) + \frac{1}{2m_3}(p_5^2 + p_6^2) \\ U = \frac{m_1 m_2}{r_{12}} + \frac{m_2 m_3}{r_{23}} + \frac{m_1 m_3}{r_{13}}, \quad r_{kj}^2 = (\theta_{2k+1} - \theta_{2j+1})^2 + (\theta_{2k} - \theta_{2j})^2 \end{array} \right.$$

で与えられる。

以下簡単の為 $m_1 = m_2 = m_3 = 1$ として計算する。

(1) を母関数 W_1 による正準変換で変換する。

$$\begin{aligned} z \in C: \quad W_1 &= (\theta_3 - \theta_1)p'_1 + (\theta_4 - \theta_2)p'_2 + (\theta_5 - \frac{\theta_1 + \theta_3}{2})p'_3 + (\theta_6 - \frac{\theta_2 + \theta_4}{2})p'_4 \\ &\quad + (\theta_1 + \theta_3 + \theta_5)p'_5 + (\theta_2 + \theta_4 + \theta_6)p'_6 \end{aligned}$$

$$\text{i.e. } \theta'_k = \frac{\partial W_1}{\partial p'_k}, \quad p'_k = \frac{\partial W_1}{\partial \theta'_k} \quad k=1, \dots, 6 \quad (\theta'_k, p'_k) \text{ から } (\theta_k, p_k)$$

へ変換する。

$\theta'_5, \theta'_6, p'_5, p'_6$ は Hamiltonian に現われない。よって $= h_3$ は constant。重心が原点に静止していざとすれば $= h_3$ の constant は下へ 0 へなる。

次に母関数.

$$W_2 = r_1 \cos \theta_2 p'_1 + r_1 \sin \theta_2 p'_2 + r_2 \cos(\theta_1 + \theta_2) p'_3 + r_2 \sin(\theta_1 + \theta_2) p'_4$$

\therefore 1, 2

$$\begin{cases} g_k' = \frac{\partial W_2}{\partial p'_k} & (k=1,2,3,4) \\ p_{r_k} = \frac{\partial W_2}{\partial r_k} & (k=1,2), \quad p_{\theta_k} = \frac{\partial W_2}{\partial \theta_k} & (k=1,2) \end{cases}$$

$\therefore (g_k', p'_k)$ が $(r_1, r_2, \theta_1, \theta_2, p_{r_1}, p_{r_2}, p_{\theta_1}, p_{\theta_2})$ へ正準変換
を行なうと θ_2 が Hamiltonian に消え去る. 従って $p_{\theta_2} = \text{const.} = c_1$
 $\therefore k$ と角動量 λ は実質角運動量である。

最後に母関数

$$W_3 = (\frac{3}{2}r_1^2 + 2r_2^2)p_R + \frac{\frac{r_1^2}{4} + r_1r_2 \cos \theta_1 + r_2^2}{\frac{3}{2}r_1^2 + 2r_2^2} p_\mu + \frac{\frac{r_1^2}{4} - r_1r_2 \cos \theta_1 + r_2^2}{\frac{3}{2}r_1^2 + 2r_2^2} p_\lambda$$

1, 2, 3

$$\begin{cases} R = \frac{\partial W_3}{\partial p_R}, \quad \mu = \frac{\partial W_3}{\partial p_\mu}, \quad \lambda = \frac{\partial W_3}{\partial p_\lambda} \\ p_{r_1} = \frac{\partial W_3}{\partial r_1}, \quad p_{r_2} = \frac{\partial W_3}{\partial r_2}, \quad p_{\theta_1} = \frac{\partial W_3}{\partial \theta_1} \end{cases}$$

$\therefore (r_1, r_2, \theta_1, p_{r_1}, p_{r_2}, p_{\theta_1}) \rightarrow (R, \mu, \lambda, p_R, p_\mu, p_\lambda)$ へ
変換すれば Hamiltonian は.

$$\begin{aligned} H = & 6Rp_R^2 + \frac{1}{R} \left[\frac{F_1(\mu, \lambda)}{2} p_\mu^2 + F_2(\mu, \lambda) p_\mu p_\lambda + \frac{F_3(\mu, \lambda)}{2} p_\lambda^2 \right] \\ & + \frac{k}{R} G_1(\mu, \lambda) (p_\mu - p_\lambda) + \frac{k^2}{R} G_2(\mu, \lambda) - \frac{1}{\sqrt{R}} G_3(\mu, \lambda) \end{aligned}$$

\therefore 3. 但し.

$$\left\{ \begin{array}{l} F_1 = 4\mu(2-3\mu) \quad F_2 = 2(2\mu+\lambda)-6\mu\lambda-1 \quad F_3 = 4\lambda(2-3\lambda) \\ G_1 = \frac{(1-\mu-\lambda)(3\mu+\lambda)-1 - (\mu-\lambda)^2}{1-\mu-\lambda}^{\frac{1}{2}} \quad G_2 = \frac{1}{1-\mu-\lambda} \\ G_3 = \frac{1}{\sqrt{\mu}} + \frac{1}{\sqrt{\lambda}} + \frac{1}{\sqrt{1-\mu-\lambda}} \end{array} \right.$$

3-体の運動は

$$(2) \left\{ \begin{array}{l} \dot{R} = \frac{\partial H}{\partial p_R}, \quad \dot{\mu} = \frac{\partial H}{\partial p_\mu}, \quad \dot{\lambda} = \frac{\partial H}{\partial p_\lambda} \\ \dot{p}_R = -\frac{\partial H}{\partial R}, \quad \dot{p}_\mu = -\frac{\partial H}{\partial \mu}, \quad \dot{p}_\lambda = -\frac{\partial H}{\partial \lambda} \\ \dot{\theta}_2 = \frac{\partial H}{\partial k} \end{array} \right.$$

によって決定される。

$$(3) \left\{ \begin{array}{l} \mu = \frac{1}{3} \\ \lambda = \frac{1}{3} \\ p_\mu = \mp \frac{\sqrt{3}}{2}k \\ p_\lambda = \pm \frac{\sqrt{3}}{2}k \\ \dot{R} = \frac{\partial H_1}{\partial p_R} \\ \dot{p}_R = -\frac{\partial H_1}{\partial R} \\ \dot{\theta}_2 = \frac{\partial H_1}{\partial k} \\ H_1 = \omega R p_R^2 + \frac{3k^2}{2R} - \frac{3\sqrt{3}}{\sqrt{R}} \end{array} \right.$$

が、(2) の特殊解 τ と $\dot{\theta}_2 = \omega$ は容易に確かめられ。これが

homographic solution である。

方程式(3)は $p_3 \geq 0$ で H_1 は積分である。 $H_1 = h$ とおく。 (h) はエネルギー

$$(4) \quad 6Rp_R^2 + \frac{3k^2}{2} \left(\frac{1}{\sqrt{R}} - \frac{\sqrt{3}}{k^2} \right)^2 = h + \frac{q}{2k^2}$$

を得る。

これから直ちにわかる様に、homographic solution はエネルギーと角運動量の間に $h + \frac{q}{2k^2} \geq 0$ の関係があるときのみ可能である。特に $h + \frac{q}{2k^2} = 0$ のとき、これは Lagrange の正三角形解である。

$$(4) \quad h + \frac{q}{2k^2} \geq 0 \quad \checkmark \quad k > 0, q < 0$$

$$(4)' \quad \begin{cases} \frac{3k^2}{2} \left(\frac{1}{\sqrt{R}} - \frac{\sqrt{3}}{k^2} \right) = \sqrt{h + \frac{q}{2k^2}} \cos \theta_3 \\ \sqrt{6} \sqrt{R} p_R = \sqrt{h + \frac{q}{2k^2}} \sin \theta_3 \end{cases}$$

とおくと、方程式(3)は

$$(5) \quad \begin{cases} \dot{\theta}_2 = \frac{3k}{R} \\ \dot{\theta}_3 = \frac{3k}{R} \end{cases}$$

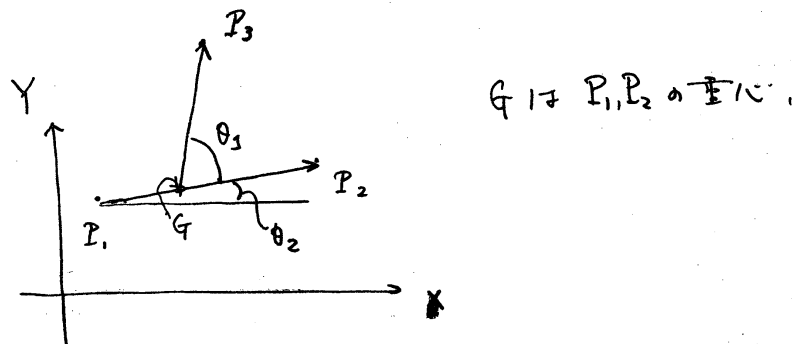
と同値。 θ_2 及び θ_3 はともに 2π を法として考えられる。

(5) は torus 上の flow を定義している。これはすべての orbit が periodic な場合とする。これからも homographic sol. が 周期解であることがわかる。(但し、 $h < 0$ の場合)

$h \geq 0$ のときは、(4)から有限な解が得られることがわかる。すなわち、 $h \geq 0$ のときの homographic sol. は、3-体が共に無限遠に去って行くような解である。

4) 3y. $\ddot{\theta} + \frac{q}{2k^2}$ の十分0に近づくれば、初期条件 graphic sol. は Lagrange-解。は十分近くするこで可。

$m_1 = m_2 = m_3 = 1$ の場合に3次の極度変数を $k_3 = k_1 = k_2 = \tau$ 全く同様の議論が出来た。



$$R = m_1 m_2 r_{12}^{-2} + m_2 m_3 r_{23}^{-2} + m_1 m_3 r_{13}^{-2}$$

$$\mu = \frac{m_2 m_3 r_{23}^{-2}}{R}$$

$$\lambda = \frac{m_1 m_3 r_{13}^{-2}}{R}$$

θ_2 : 固定した座標軸と $\overrightarrow{P_1 P_2}$ の角度。

3.3.

Linear periodic system.

$$\frac{dx}{dt} = A(t)x ; x \in \mathbb{R}^n \quad A(t) : n \times n \text{ matrix}$$

$$A(t+\omega) = A(t) \quad \omega \geq 0$$

① 解は $x = c \cdot P(t) \cdot e^{tR}$ (c : constant vector, $P(t)$: $n \times n$ matrix, $P(t+\omega) = P(t)$)

R : constant matrix) と表わされる。 e^R の特性多項式、 B の特性根を λ の system の特性多項式、特性根と呼ぶことにする。

微分方程式系

$$\frac{dx}{dt} = f(x, t); x, f \in \mathbb{R}^n$$

のある periodic solution の特性多項式、特性根とは、その periodic solution に対する偏差方程式 (= または linear periodic system) の特性多項式、特性根のこととする。

ここで次の定理が知られてる。

Theorem. A.

\Rightarrow linear periodic systems $\frac{dx}{dt} = A(t)x, \frac{dx}{dt} = B(t)x$
は T_0 の period. $A(t)$ の period & $B(t)$ の period が等 ($<$. $A(t) \sim B(t)$)
とか十分近ければ、その特性根も又近い。

Theorem. B.

linear periodic system $\frac{dx}{dt} = A(t)x$ の特性根がすべて絶対値 1 で
且、相異なり. $\frac{dx}{dt} = B(t)x$ の特性多項式は、相反の式であると
する。そのとき $\int_0^\omega |A(t) - B(t)| dt$ が十分小さければ、 $\frac{dx}{dt} = B(t)x$
の特性根も又すべて絶対値 1 である。すなはち ω は $A(t), B(t)$ の
共通周期である。

Theorem. A, B については [1] 参照。

Theorem C. Hamiltonian system については、任意の periodic solution の特性多項式は相反式である。[2]

$\dot{\xi} = \tau$ 系 (2) の homographic solution の偏差方程式を調べる。

まず、Lagrange-solution の 偏差方程式 は。

$\ddot{\xi}_1, \ddot{\xi}_2, \ddot{\xi}_3; \ddot{\xi}_4, \ddot{\xi}_5, \ddot{\xi}_6$ を それぞれ $R, p_R, \mu, \lambda, p_\mu, p_\lambda$ に対する variation とすると。

$$\frac{d\xi}{dt} = \begin{pmatrix} A & 0 \\ 0 & B \end{pmatrix} \xi \quad ; \quad \xi = \begin{pmatrix} \xi_1 \\ \vdots \\ \xi_6 \end{pmatrix} \quad \begin{array}{l} \text{constant} \\ \text{matrix} \end{array}$$

$$A; 2 \times 2 \quad \begin{array}{l} \text{constant} \\ \text{matrix} \end{array}$$

となり、 A, B で ω の 固有値は 相異 である。

homographic solution の 偏差方程式 も、Lagrange-solution と同じ形をしていき。但し、 A, B は periodic function である。

Lagrange-solution の 特性根は計算してみて。

$$27(m_1m_2 + m_2m_3 + m_3m_1) < (m_1 + m_2 + m_3)^2$$

の場合、これらはすべて絶対値 1 であり、他の場合は ω の 固有値は pure imaginary であることは $\omega < 0$ 、 A の 固有値は pure imaginary である。

これらより事実に、上の Theorem A, B, C を適用すれば、次の結果を得る。

Theorem. homographic solution は τ 附近 Lagrange-solution は τ 附近 4 通り。その 特性根は Lagrange-solution のそれと 同じ構造をもつ。

但し、 $\lambda = \pm \omega$ で特徴根の構造とは、絶対値が $1 + \delta\omega$, $1 - \delta\omega$
 及び $-\delta\omega$, $-\delta\omega + 1$ 小于 $3\delta\omega$ のそれが個数のことである。

— 参考文献 —

- [1] A. Halanay ; Differential equation
 (加藤順二訳；吉岡書店)
- [2] H. Poincaré ; Les méthodes nouvelles de la mécanique céleste
 vol. 1.
- [3]. A. Wintner ; The analytical foundations of celestial mechanics.